

1. まえがき

桁令の異なる新旧鉄筋コンクリート断面よりなる合成桁は遅れ変形が生ずるとき、鉄筋の拘束作用、新旧コンクリートの品質の違いによって応力の再分配が行なわれるので、これらの特性を知ることが安全性を評価する上で重要である。本研究はコンクリート合成桁の遅れ変形応力厳密解の式(文献(1))を導き、2径間連続合成桁の場合についてその特性を調べたものである。

2. 2径間連続合成桁の遅れ変形による応力の解法  
(Fig.1に示す2径間連続桁について解く。以下添字φは新コンクリートのクリープ係数がなる時、∞はクリープ終了時、0はクリープ開始時の値であることを示す。k, k', L, Xφ, X∞は支変発生不静定モーメント)

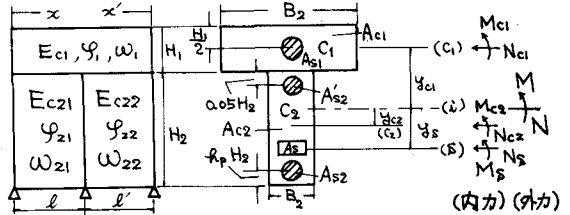


Fig.1

2-1. 計算上の仮定

a) コンクリートのクリープ係数φおよび収縮率ωの経時変化は相似であり、かつ新旧コンクリート間にも相似関係が成立する。すなわち

新コンクリート;  $\varphi_{1\varphi} = \varphi, \omega_{1\varphi} = \delta_1 \varphi$  の時  
旧コンクリート;  $\varphi_{21\varphi} = \alpha_1 \varphi, \omega_{21\varphi} = \delta_{21} \varphi$   
 $\varphi_{22\varphi} = \alpha_1 \alpha_2 \varphi, \omega_{22\varphi} = \delta_{22} \varphi$

こゝに  $\gamma_1 = \frac{\omega_{1\infty}}{\varphi_{1\infty}}, \alpha_1 = \frac{\varphi_{21\infty}}{\varphi_{1\infty}}, \alpha_2 = \frac{\varphi_{22\infty}}{\varphi_{21\infty}}$   
 $\delta_{21} = -\frac{\omega_{21\infty}}{\varphi_{1\infty}} = \alpha_1 \gamma_1, \delta_{22} = \frac{\omega_{22\infty}}{\varphi_{1\infty}} = \alpha_1 \alpha_2 \gamma_1$

b) コンクリートの弾性応力-弾性歪は比例する。

c) コンクリートには常にひびわれが生じていない。

d) クリープおよび収縮開始後、鉄筋とコンクリートとの間には平面保持の法則が成立する。

e) 弾性係数  $E_{c0}, E_{c\varphi}, E_{c\infty}$  は次式のような関係にあるものとする。

$E_{c\varphi} = E_{c0} (1 + \lambda A),$  したがって  $\lambda = \frac{\varphi_{\varphi}}{\varphi_{\infty}}, A = \frac{E_{c\infty}}{E_{c0}} - 1$

2-2. 応力解法

断面を Fig.1 に示すように新、旧コンクリート断面(C1, C2)および鉄筋断面(S)の3つの要素に分解し、合成断面(λ)に作用する力を各要素に作用する力、 $N_{c1}, \dots, M_{c1}, \dots$ 等に分解し、遅れ変形によって断面内に生ずる2次応力に対して得られる次の連立4元微分方程式(2)を初期条件(12)で解けば遅れ変形応力を得る。

$A_{i\varphi} = A_{c1} + N_{c2\varphi} A_{c2} + N_{s\varphi} A_s$   
 $I_{i\varphi} = I_{c1} + A_{c1} y_{c1\varphi}^2 + N_{c2\varphi} (I_{c2} + A_{c2} y_{c2\varphi}^2) + N_{s\varphi} (I_s + A_s y_{s\varphi}^2)$

したがって、 $N_{c2\varphi} = \frac{E_{c2\varphi}}{E_{c1\varphi}}, N_{s\varphi} = \frac{E_s}{E_{c1\varphi}}$  (1)

$\frac{dN_{c1}}{d\varphi} + (1 - \delta_{11})N_{c1} - \alpha S_{21}N_{c2} + t_1 M_{c1} + \alpha t_1 M_{c2}$   
 $= -(1 - \delta_{11})R_1 + \delta_{21}R_2 + t_1 \frac{dX_{\varphi+w}}{d\varphi}$   
 $\frac{dN_{c2}}{d\varphi} - S_{12}N_{c1} + \alpha(1 - S_{22})N_{c2} + t_2 M_{c1} + \alpha t_2 M_{c2}$   
 $= S_{12}R_1 - (1 - \delta_{22})R_2 + t_2 \frac{dX_{\varphi+w}}{d\varphi}$   
 $\frac{dM_{c1}}{d\varphi} + U_{11}N_{c1} + \alpha U_{21}N_{c2} + (1 - Z_1)M_{c1} - \alpha Z_1 M_{c2}$   
 $= -U_{11}R_1 - U_{21}R_2 + Z_1 \frac{dX_{\varphi+w}}{d\varphi}$   
 $\frac{dM_{c2}}{d\varphi} + U_{12}N_{c1} + \alpha U_{22}N_{c2} - Z_2 M_{c1} + \alpha(1 - Z_2)M_{c2}$   
 $= -U_{12}R_1 - U_{22}R_2 + Z_2 \frac{dX_{\varphi+w}}{d\varphi}$  (2)

こゝに  $R_1 = \gamma_1 A_{c1} E_{c1\varphi}, R_2 = \delta_{22} A_{c2} E_{c2\varphi}$  (3)

$t_1 = \frac{A_{c1} y_{c1\varphi}}{I_{i\varphi}}, t_2 = \frac{N_{c2\varphi} A_{c2} y_{c2\varphi}}{I_{i\varphi}}$  (4)

$U_{11} = \frac{I_{c1} y_{c1\varphi}}{I_{i\varphi}}, U_{21} = \frac{I_{c1} y_{c2\varphi}}{I_{i\varphi}}$   
 $U_{12} = \frac{N_{c2\varphi} I_{c2} y_{c1\varphi}}{I_{i\varphi}}, U_{22} = \frac{N_{c2\varphi} I_{c2} y_{c2\varphi}}{I_{i\varphi}}$  (5)

$Z_1 = \frac{I_{c1}}{I_{i\varphi}}, Z_2 = \frac{N_{c2\varphi} I_{c2}}{I_{i\varphi}}$  (6)

$S_{11} = A_{c1} \left( \frac{1}{A_{i\varphi}} + \frac{y_{c1\varphi}^2}{I_{i\varphi}} \right), S_{21} = A_{c1} \left( \frac{1}{A_{i\varphi}} + \frac{y_{c1\varphi} y_{c2\varphi}}{I_{i\varphi}} \right)$   
 $S_{22} = N_{c2\varphi} A_{c2} \left( \frac{1}{A_{i\varphi}} + \frac{y_{c2\varphi}^2}{I_{i\varphi}} \right), S_{12} = N_{c2\varphi} A_{c2} \left( \frac{1}{A_{i\varphi}} + \frac{y_{c1\varphi} y_{c2\varphi}}{I_{i\varphi}} \right)$  (7)

また、 $\frac{dX_{\varphi+w}}{d\varphi} = \frac{dX_{\varphi}}{d\varphi} + \frac{dX_w}{d\varphi}$  (8)

$\frac{dX_{\varphi}}{d\varphi} = -\frac{\alpha (d\theta_{\varphi}/d\varphi)}{l \Theta_{11\varphi}}, \frac{dX_w}{d\varphi} = -\frac{\alpha (d\theta_w/d\varphi)}{l \Theta_{11\varphi}}$  (9)

Tab.1

No.	1		2		3		4		5		6													
$E_{c10}$ ( $\text{t/cm}^2$ )	200		200		200		150		150		280													
$E_{c210}$ ( $\text{t}$ )	300		250		250		200		200		310													
$E_{c220}$ ( $\text{t}$ )	300		250		300		200		300		310													
$\omega_{1\infty}$ ( $\times 10^5$ )	20	15	20	15	20	15	20	15	20	15	20	15												
$P_2 \odot$ (%)	2	0	2	0	2	0	2	0	2	0	2	0	2	0	2	0								
$M_{\varphi}$	117	168	129	180	110	169	123	180	114	169	127	180	107	173	118	183	116	173	127	183	110	162	124	175
$M_{\omega}$	107	91	80	68	106	91	80	67	106	90	80	67	99	83	74	62	98	83	74	62	118	100	88	75
$M_{\varphi+\omega}$	224	259	209	248	217	258	202	247	221	258	206	247	206	256	192	245	214	255	201	245	228	262	213	250
	$\nu_{1\infty}=2$				$\alpha_1=0.5$				$\alpha_2=1.0$				$E_s = 21 \times 10^6 \text{ (kg/cm}^2\text{)}$											

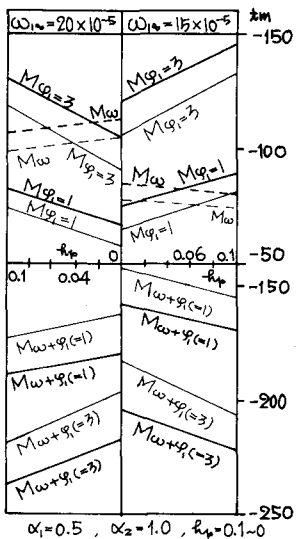
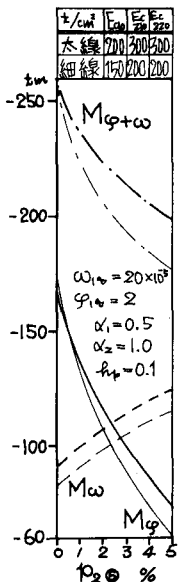


Fig. 2

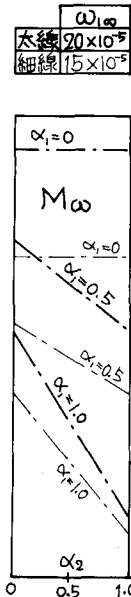
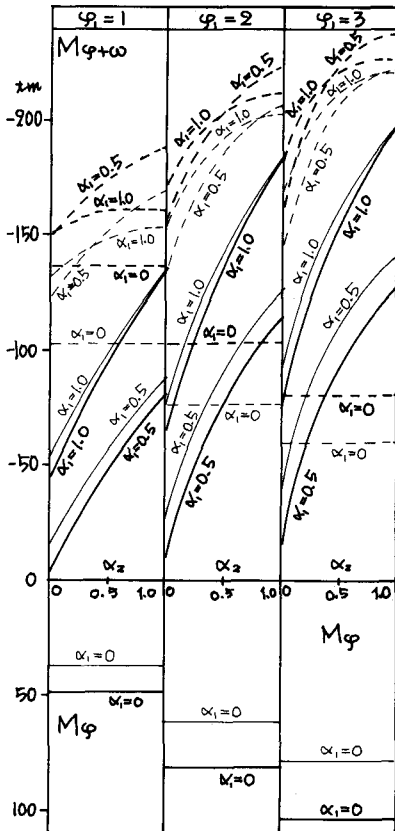


Fig. 3



$$\begin{aligned} \delta = k \frac{dQ_{\varphi}}{d\varphi} &= \sum \int_0^l \frac{(dM_{S\varphi}/d\varphi)}{E_S I_S} \cdot \frac{x}{l} dx \\ \frac{dQ_{\omega}}{d\varphi} &= \sum \int_0^l \frac{(dM_{S\omega}/d\varphi)}{E_S I_S} \cdot \frac{x}{l} dx \end{aligned} \quad (10)$$

ここで、 $Q_{\varphi}$  は不静定モーメント  $X=1$  による支点上に生ずる応力角を表現し、また、 $dM_{S\varphi}$ 、 $dM_{S\omega}$  は次のようにして求められる。

$$\begin{aligned} \frac{dN_{S\varphi}}{d\varphi} &= -\frac{dN_{c1\varphi}}{d\varphi} - \frac{dN_{c2\varphi}}{d\varphi} \\ \frac{dM_{S\varphi}}{d\varphi} &= \frac{dN_{c1\varphi}}{d\varphi} y_{c1\varphi} + \frac{dN_{c2\varphi}}{d\varphi} y_{c2\varphi} + \frac{dN_{S\varphi}}{d\varphi} y_{S\varphi} - \frac{dM_{c1\varphi}}{d\varphi} - \frac{dM_{c2\varphi}}{d\varphi} \end{aligned} \quad (11)$$

初期条件は、 $\varphi=0$  で  $N_{c1} = N_{c10}$ 、 $N_{c2} = N_{c20}$ 、 $M_{c1} = M_{c10}$ 、 $M_{c2} = M_{c20}$  (12)

ろ、中間支点発生不静定モーメントの特性

$l=l'=24\text{m}$ 、 $B_1=200\text{cm}$ 、 $H_1=18\text{cm}$ 、 $B_2=50\text{cm}$ 、 $H_2=160\text{cm}$ 、各断面における  $A_{s1}$ 、 $A_{s2}$ 、 $A_{s2}$  の割合は死荷重満載状態におけるスパン  $l$  の単純桁の曲げモーメントによる  $A_{s2}$ 、 $A_{s2}$  を、2径間連続桁としての曲げモーメントによる  $A_{s1}$  を決定し、中央点 (スパン毎) の鉄筋量  $P_2 \odot$  に比例して  $A_{s1}$ 、 $A_{s2}$ 、 $A_{s2}$  も増減するものとす。単純桁としての曲げモーメントによる応力を初期応力とした。また、 $E_{c100} = 300 \text{ t/cm}^2$ 、 $E_{c2100} = E_{c220} = 330 \text{ t/cm}^2$ 、 $E_s = 21 \times 10^6 \text{ kg/cm}^2$  である。2径間連続合成桁 (単純桁を架設後現場上部にスラブを打つ場合) の弾性変形応力特性は、中間支点上に発生する不静定モーメントによって支配されるので、ここでは上述の仮定により、北大大型計算機センター FACOM 230-60 により、 $\varphi=0 \sim \varphi_{10}$  を直線変化とみなし 10 分割して (2) 式の数値積分を行なって得られた結果、Tab.1, Fig. 1~3 を示す。

文献(1) 北海道大学工学部研究報告 68 号